

INSTITUT POLYTECHNIQUE DE PARIS

PROJET DE ECMA

MAJOR : MASTER2 MPRO

ACADEMIC YEAR : 2021-2022

---

# Optimisation robuste sur le problème le plus court chemin

---

*Auteurs:*  
Yue ZHANG

*Enseignants:*  
Zacharie ALÈS  
Daniel PORUMBEL

# Contents

<b>1</b>	<b>Introduction du problème</b>	<b>3</b>
1.1	Modélisation du problème statique . . . . .	3
1.2	Modélisation du problème robuste . . . . .	4
<b>2</b>	<b>Résolution par plans coupants</b>	<b>6</b>
2.1	Reformuler l'objectif . . . . .	6
2.2	Définir le problème maître . . . . .	6
2.3	Définir les sous-problèmes . . . . .	7
2.4	Condition optimale . . . . .	8
2.5	Ajouter les coupes . . . . .	8
<b>3</b>	<b>Résolution par dualisation</b>	<b>9</b>
3.1	Reformulation de l'objectif du problème robuste . . . . .	9
3.2	Problème interne lié aux variables $\delta_{ij}^1$ . . . . .	9
3.3	Dualisation du problème interne . . . . .	9
3.4	Reformulation de la contrainte robuste . . . . .	10
3.5	Problème interne lié aux variables $\delta_i^2$ . . . . .	10
3.6	Dualisation du problème interne . . . . .	10
3.7	Le problème robuste sous forme PLNE . . . . .	10
<b>4</b>	<b>Vérification la faisabilité</b>	<b>12</b>
<b>5</b>	<b>Influence des scénarios initiaux</b>	<b>13</b>
<b>6</b>	<b>Influence les heuristiques pour des sous problèmes</b>	<b>15</b>
<b>7</b>	<b>Heuristique Primal</b>	<b>20</b>
<b>8</b>	<b>Comparaison performances des modèles</b>	<b>22</b>



# 1 Introduction du problème

## 1.1 Modélisation du problème statique

**Données :**

- un graphe orienté  $G = (V, A)$ ;
- un sommet origine  $s \in V$  et un sommet destination  $t \in V$ ;
- une durée de trajet  $d_{ij}$  associée à chaque arc  $ij \in A$ ;
- un poids  $p_i$  associé à chaque sommet  $i \in V$ .

Le problème statique consiste à trouver un plus court chemin de  $s$  à  $t$  dont le poids des sommets est inférieure ou égale à un entier  $S$ .

**Variables :** on propose deux variables binaires :

$$x_{ij} = \begin{cases} 1, & \text{si arc } (i, j) \text{ appartient plus court chemin} \\ 0, & \text{sinon} \end{cases}, \text{ et } y_i = \begin{cases} 1, & \text{si sommet } i \text{ se trouve sur le plus court chemin} \\ 0, & \text{sinon} \end{cases}.$$

**Objectif :** L'objectif est donc minimiser le plus court chemin au sens la durée (1).

**Contraintes :**

- Contrainte du poids : la contrainte (2) indique la sommes des poids du sommet dans le plus court chemin ne dépasse pas la limite  $S$ .
- Contraintes du chemin de  $s$  à  $t$  : les contraintes (3)-(8) s'expriment un chemin de  $s$  à  $t$ . Pour cela, il existe exactement un arc sortant de  $s$  (3) et exactement un arc entrant à  $t$  (4). Les sommets  $s$  et  $t$  sont les extrémités du chemin (8). Pour tous les sommets intermédiaires (i.e.  $\forall v \in V \setminus \{s, t\}$ ), au plus un arc peut rentrer à  $v$  (7), de même au plus un arc peut sortir de  $v$  (6). Dernièrement, la contrainte conservation (5): pour tous les sommets intermédiaires, le nombre de arcs sortant de  $v$  égale au nombre de arcs entrant à  $v$ . Evidemment, s'il existe un arc passant au sommet intermédiaire, alors ce sommet est bien-sûr dans le chemin de  $s$  à  $t$ .

**Compacité :** on peut dire que notre modèle mathématique est compacte. Le nombre de variables est  $|V| + |A|$ , le nombre de contraintes est  $3(|V| - 2) + 4$ .

**Modèle :**

$$(P) \quad \min_{x_{ij}} \sum_{ij \in A} d_{ij} x_{ij} \quad (1)$$

$$\text{s.c.} \quad \sum_{i \in V} p_i y_i \leq S \quad (2)$$

$$\sum_{sj \in A} x_{sj} = 1 \quad (3)$$

$$\sum_{it \in A} x_{it} = 1 \quad (4)$$

$$\sum_{vi \in A} x_{vj} - \sum_{iv \in A} x_{iv} = 0, \forall v \in V \setminus \{s, t\} \quad (5)$$

$$\sum_{vi \in A} x_{vj} = y_v, \forall v \in V \setminus \{s, t\} \quad (6)$$

$$\sum_{iv \in A} x_{iv} = y_v, \forall v \in V \setminus \{s, t\} \quad (7)$$

$$y_s = y_t = 1 \quad (8)$$

$$y_i \in \{0, 1\}, i \in V \quad (9)$$

$$x_{ij} \in \{0, 1\}, ij \in A \quad (10)$$

## 1.2 Modélisation du problème robuste

Le problème robuste considère les incertitudes sur les durées et sur les poids.

**Données :**

- un graphe orienté  $G = (V, A)$ ;
- un sommet origine  $s \in V$  et un sommet destination  $t \in V$ ;
- une durée de trajet  $d_{ij}^1$  associée à chaque arc  $ij \in A$ ;
- un poids  $p_i^2$  associé à chaque sommet  $i \in V$ .

**Incertainités :**

- Incertitude sur les durées :  $\mathcal{U}^1 = \{ \{d_{ij}^1 = d_{ij}(1 + \delta_{ij}^1)\}_{ij \in A} \text{ t.q. } \sum_{ij \in A} \delta_{ij}^1 \leq d_1, \delta_{ij}^1 \in [0, D_{ij}] \forall ij \in A \}$ .
- Incertitude sur les poids :  $\mathcal{U}^2 = \{ \{p_i^2 = p_i + \delta_i^2 \hat{p}_i\}_{i \in V} \text{ t.q. } \sum_{i \in V} \delta_i^2 \leq d_2, \delta_i^2 \in [0, 2] \forall i \in V \}$ .

Le problème robuste consiste à trouver le minimum le plus long chemin au sens durée de  $s$  à  $t$  dont le poids des sommets est inférieure ou égale à un entier  $S$  en considérant tous les scénarios.

**Objectif :** L'objectif est donc minimiser le plus long chemin au sens de la durée (11) en considérant tous les scénarios.

**Modèle :**

$$(PR) \quad \min_{x_{ij}} \max_{d_{ij}^1 \in \mathcal{U}^1} \sum_{ij \in A} d_{ij}^1 x_{ij} \quad (11)$$

$$\text{s.c.} \quad \sum_{i \in V} p_i^2 y_i \leq S, \quad p_i^2 \in \mathcal{U}^2 \quad (12)$$

contraintes du chemin  $s$  à  $t$  : (3) – (8)

variables : (9) – (10)

## 2 Résolution par plans coupants

### 2.1 Reformuler l'objectif

On modifie le problème afin que la robustesse n'apparaisse plus dans l'expression de l'objectif mais dans les contraintes.

$$(\overline{\text{PR}}) \quad \min_{x_{ij}} \min_z z \quad (13)$$

$$\text{s.c.} \quad \sum_{ij \in A} d_{ij}^1 x_{ij} \leq z, d_{ij}^1 \in \mathcal{U}^1 \quad (14)$$

contrainte du poids : (12)

contraintes du chemin  $s$  à  $t$  : (3) – (8)

variables : (9) – (10)

### 2.2 Définir le problème maître

On définit le problème maître ci-dessous :

$$(\text{MP}) \quad \min_z z \quad (15)$$

$$\text{s.c.} \quad \sum_{ij \in A} d_{ij}^1 x_{ij} \leq z, d_{ij}^1 \in \mathcal{U}^{1*} \quad (16)$$

$$\sum_{i \in V} p_i^2 y_i \leq S, p_i^2 \in \mathcal{U}^{2*} \quad (17)$$

contraintes du chemin  $s$  à  $t$  : (3) – (8)

variables : (9) – (10)

d'où on propose trois différentes définitions possibles de  $\mathcal{U}^{1*}$  et  $\mathcal{U}^{2*}$ :

- Il n'y a pas d'augmentation pour la durée  $d_{ij}$  de chaque arc  $ij \in A$  (i.e.  $\delta_{ij}^1 = 0, \forall ij \in A$ ). De même, Il n'y a pas d'augmentation du poids pour chaque sommet (i.e.  $\delta_i^2 = 0, \forall i \in V$ ).

$$\mathcal{U}^{1*} = \{ \{d_{ij}^1 = d_{ij}(1 + \delta_{ij}^1) = d_{ij}\}_{ij \in A} \}$$

$$\mathcal{U}^{2*} = \{ \{p_i^2 = p_i + \delta_i^2 \hat{p}_i = p_i\}_{i \in V} \}$$

- Toutes les augmentations de durée  $\delta_{ij}^1$  sont uniformément la moyenne de la limite  $d_1$  (i.e.  $\delta_{ij}^1 = \min \left( \frac{d_1}{|A|}, D_{ij} \right), \forall ij \in A$ ). De la même manière, les augmentations de poids sont le produit de  $\hat{p}_i$  et

la moyenne de la limite  $d_2$  (i.e.  $\delta_i^2 = \min\left(\frac{d_2}{|V|}, 2\right)$ ,  $\forall i \in V$ ).

$$\mathcal{U}^{1*} = \{\{d_{ij}^1 = d_{ij}(1 + \delta_{ij}^1)\}_{ij \in A} \text{ t.q. } \delta_{ij}^1 = \min\left(\frac{d_1}{|A|}, D_{ij}\right), \forall ij \in A\}$$

$$\mathcal{U}^{2*} = \{\{p_i^2 = p_i + \delta_i^2 \hat{p}_i\}_{i \in V} \text{ t.q. } \delta_i^2 = \min\left(\frac{d_2}{|V|}, 2\right), \forall i \in V\}$$

- On prend aléatoirement un sous-ensemble des arcs  $A' \subset A$ , tel que tous les arcs hors de  $A'$  n'a pas d'augmentation de durée et tous les arcs dans  $A'$  ont une pourcentage d'augmentation de  $\frac{d_1}{|A'|}$  (i.e.

$$\delta_{ij}^1 = \begin{cases} \min\left(\frac{d_1}{|A'|}, D_{ij}\right), & \text{si l'arc } ij \in A' \\ 0, & \text{sinon} \end{cases}, \forall ij \in A). \text{ De même façon, on prend aléatoirement un}$$

sous-ensemble des sommets  $V' \subset V$ , tel que tous les sommets hors de  $V'$  n'a pas d'augmentation de poids et tous les sommets dans  $V'$  ont une augmentation du produit de  $\hat{p}_i$  et  $\frac{d_2}{|V'|}$  (i.e.  $\delta_i^2 =$

$$\begin{cases} \min\left(\frac{d_2}{|V'|}, 2\right), & \text{si le sommet } i \in V' \\ 0, & \text{sinon} \end{cases}, \forall i \in V).$$

$$\mathcal{U}^{1*} = \{\{d_{ij}^1 = d_{ij}(1 + \delta_{ij}^1)\}_{ij \in A} \text{ t.q. } \delta_{ij}^1 = \begin{cases} \min\left(\frac{d_1}{|A'|}, D_{ij}\right), & \text{si l'arc } ij \in A' \\ 0, & \text{sinon} \end{cases}, \forall ij \in A\}$$

$$\mathcal{U}^{2*} = \{\{p_i^2 = p_i + \delta_i^2 \hat{p}_i\}_{i \in V} \text{ t.q. } \delta_i^2 = \begin{cases} \min\left(\frac{d_2}{|V'|}, 2\right), & \text{si le sommet } i \in V' \\ 0, & \text{sinon} \end{cases}, \forall i \in V\}$$

## 2.3 Définir les sous-problèmes

Soient  $(x_{ij}^*, y_i^*, z^*)$  est la solution du (MP).

**Sous-problème lié à  $\mathcal{U}^1$  :** on développe  $\max_{d_{ij}^1 \in \mathcal{U}^1} \sum_{ij \in A} x_{ij}^* d_{ij}^1$  :

$$(SP_1) \quad \max_{\delta_{ij}^1} \sum_{ij \in A} x_{ij}^* d_{ij}^1 (1 + \delta_{ij}^1) \tag{18}$$

$$\text{s.c.} \quad \sum_{ij \in A} \delta_{ij}^1 \leq d_1 \tag{19}$$

$$\delta_{ij}^1 \leq D_{ij}, \forall ij \in A \tag{20}$$

$$\delta_{ij}^1 \geq 0, \forall ij \in A \tag{21}$$



**Sous-problème lié à  $\mathcal{U}^2$  :** on sait que  $\sum_{i \in V} y_i^* p_i^2 \leq S, \forall p_i^2 \in \mathcal{U}^2$  est équivalent au fait que la valeur objective de (22) est inférieure ou égale à  $S$  :

$$(SP_2) \quad \max_{\delta_i^2} \sum_{i \in V} y_i^* (p_i + \delta_i^2 \hat{p}_i) \quad (22)$$

$$\text{s.c.} \quad \sum_{i \in V} \delta_i^2 \leq d_2 \quad (23)$$

$$\delta_i^2 \leq 2, \forall i \in V \quad (24)$$

$$\delta_i^2 \geq 0, \forall i \in V \quad (25)$$

## 2.4 Condition optimale

Une solution du problème maître  $(x_{ij}^*, y_i^*, z^*)$  est optimale, si  $\sum_{ij \in A} d_{ij}^{1*} x_{ij}^* \leq z^*$  et  $\sum_{i \in V} p_i^{2*} y_i^* \leq S$  avec  $d_{ij}^{1*} = d_{ij}(1 + \delta_{ij}^{1*})$ , et  $p_i^{2*} = p_i + \delta_i^{2*} \hat{p}_i$  où  $\delta_{ij}^{1*}$  est la solution donnée par la résolution (18) et  $\delta_i^{2*}$  donnée par la résolution (22). Dans ce cas l'algorithme coupant s'arrête et la solution obtenue est optimale. Sinon, on ajoute les contraintes violées par les scénarios trouvées aux ensembles de contraintes  $\mathcal{U}^{1*}$  ou/et  $\mathcal{U}^{2*}$  du problème maître (voir subsection 2.5).

## 2.5 Ajouter les coupes

**Sous-problème lié à  $\mathcal{U}^1$  :** Soit  $\delta_{ij}^{1*}$  la solution du sous-problème (SP<sub>1</sub>). Si  $z^* < \sum_{ij \in A} x_{ij}^* d_{ij}(1 + \delta_{ij}^{1*})$ , alors on ajoute la contrainte ci-dessous dans (MP) :

$$\sum_{ij \in A} x_{ij} d_{ij}(1 + \delta_{ij}^{1*}) \leq z$$

**Sous-problème lié à  $\mathcal{U}^2$  :** Soit  $\delta_i^{2*}$  la solution du sous-problème (SP<sub>2</sub>). Si  $\sum_{i \in V} y_i^* (p_i + \delta_i^{2*} \hat{p}_i) > S$ , alors on ajoute la contrainte ci-dessous dans (MP) :

$$\sum_{i \in V} y_i (p_i + \delta_i^{2*} \hat{p}_i) \leq S$$

### 3 Résolution par dualisation

#### 3.1 Reformulation de l'objectif du problème robuste

Premièrement, on réécrit l'objectif du problème robuste (PR) afin d'isoler la variable  $\delta_{ij}^1$  :

$$\min_{x_{ij}} \max_{\delta_{ij}^1} \sum_{ij \in A} d_{ij}(1 + \delta_{ij}^1)x_{ij} = \min_{x_{ij}} \sum_{ij \in A} (d_{ij}x_{ij}) + \max_{\delta_{ij}^1} \sum_{ij \in A} d_{ij}\delta_{ij}^1x_{ij} \quad (26)$$

$$\text{s.c.} \quad \sum_{ij \in A} \delta_{ij}^1 \leq d_1 \quad (27)$$

$$\delta_{ij}^1 \leq D_{ij}, \forall ij \in A \quad (28)$$

$$\delta_{ij}^1 \geq 0, \forall ij \in A \quad (29)$$

contrainte du poids : (12)

contraintes du chemin  $s$  à  $t$  : (3) – (8)

variables : (9) – (10)

#### 3.2 Problème interne lié aux variables $\delta_{ij}^1$

Prenons le problème interne dans la reformulation précédente :

$$\begin{aligned} & \max_{\delta_{ij}^1} \sum_{ij \in A} d_{ij}\delta_{ij}^1x_{ij} \\ & \text{s.c.} \quad \sum_{ij \in A} \delta_{ij}^1 \leq d_1 \\ & \delta_{ij}^1 \leq D_{ij}, \forall ij \in A \\ & \delta_{ij}^1 \geq 0, \forall ij \in A \end{aligned}$$

#### 3.3 Dualisation du problème interne

Maintenant, on dualise le problème interne lié aux variables  $\delta_{ij}^1$  :

$$\min_{\lambda_{ij}, \alpha} d_1\alpha + \sum_{ij \in A} D_{ij}\lambda_{ij} \quad (30)$$

$$\text{s.c.} \quad \alpha + \lambda_{ij} \geq d_{ij}x_{ij}, \forall ij \in A \quad (31)$$

$$\lambda_{ij} \geq 0, \forall ij \in A \quad (32)$$

$$\alpha \geq 0 \quad (33)$$

### 3.4 Reformulation de la contrainte robuste

La contrainte robuste (12) peut s'écrire sous la forme ci-dessous en isolant les variables  $\delta_i^2$  :

$$\sum_{i \in V} p_i y_i + \max_{\delta_i^2} \sum_{i \in V} \delta_i^2 \hat{p}_i y_i \leq S \quad (34)$$

$$\text{t.q.} \quad \sum_{i \in V} \delta_i^2 \leq d_2 \quad (35)$$

$$\delta_i^2 \leq 2, \forall i \in V \quad (36)$$

$$\delta_i^2 \geq 0, \forall i \in V \quad (37)$$

### 3.5 Problème interne lié aux variables $\delta_i^2$

Prenons le problème interne lié aux variables  $\delta_i^2$  dans la reformulation de la contrainte robuste précédente :

$$\begin{aligned} & \max_{\delta_i^2} \sum_{i \in V} \delta_i^2 \hat{p}_i y_i \\ \text{s.c.} \quad & \sum_{i \in V} \delta_i^2 \leq d_2 \\ & \delta_i^2 \leq 2, \forall i \in V \\ & \delta_i^2 \geq 0, \forall i \in V \end{aligned}$$

### 3.6 Dualisation du problème interne

De même, on dualise le problème interne précédente :

$$\min_{\beta, \omega_i} d_2 \beta + \sum_{i \in V} 2\omega_i \quad (38)$$

$$\text{s.c.} \quad \beta + \omega_i \geq \hat{p}_i y_i, \forall i \in V \quad (39)$$

$$\omega_i \geq 0, \forall i \in V \quad (40)$$

$$\beta \geq 0 \quad (41)$$

### 3.7 Le problème robuste sous forme PLNE

Par la forte dualité, on peut reexprimer le problème robuste en intégrant les deux dualisations de problèmes internes précédentes sous forme PLNE :

$$(\widetilde{\text{PR}}) \quad \min_{x_{ij}, \alpha, \lambda_{ij}} \sum_{ij \in A} d_{ij} x_{ij} + d_1 \alpha + \sum_{ij \in A} D_{ij} \lambda_{ij} \quad (42)$$

$$\text{s.c.} \quad \alpha + \lambda_{ij} \geq x_{ij} d_{ij}, \forall ij \in A \quad (43)$$

$$\sum_{i \in V} p_i y_i + d_2 \beta + \sum_{i \in V} 2\omega_i \leq S \quad (44)$$

$$\beta + \omega_i \geq \hat{p}_i y_i, \forall i \in V \quad (45)$$

$$\lambda_{ij} \geq 0, \forall ij \in A \quad (46)$$

$$\omega_i \geq 0, \forall i \in V \quad (47)$$

$$\alpha \geq 0 \quad (48)$$

$$\beta \geq 0 \quad (49)$$

contraintes du chemin  $s$  à  $t$  : (3) – (8)

variables : (9) – (10)

## 4 Vérification la faisabilité

Après avoir obtenu la solution exacte (statique et robuste) et la solution heuristique, il est nécessaire de vérifier si elle est bien réalisable. Pour la solution statique, on simplement vérifie la solution est bien un chemin de  $s$  à  $t$  telle que la somme de poids des sommets ne dépasse pas à la seuille  $S$ .

---

### Algorithm 1: VERIFYSTATICSP(vertices, arcs)

---

**Input:** vertices: l'ensemble des sommets sélectionnés; arcs: l'ensemble des arcs sélectionnés.

**Output:** true si la solution entrée est réalisable; false sinon.

```

1 if |vertices|  $\neq$  |arcs| - 1 then
2   return false;
3 predecessor  $\leftarrow$  [None,  $\forall v \in V$ ];
4 for  $(u, v) \in arcs$  do
5   predecessor[v]  $\leftarrow$  u;
6 for  $v \in vertices$  do
7   if  $v = s$  then
8     continue;
9   if predecessor[v] = None then
10    return false;
11 return sum( $p_v$ ,  $\forall v \in vertices$ )  $\leq S$ 

```

---

Pour la solution robuste, elle devrait être tout d'abord réalisable dans le context statique, c'est-à-dire que elle est bien un chemin de  $s$  à  $t$  avec le poids total ne dépasse pas à  $S$ . Et puis on surtout s'intéresse sur la robustesse de poids. Donc on considère la solution entrée comme les  $y_i^*$  et on résout le sous-problème (SP<sub>2</sub>) (22) programmation linéaire par CPLEX et voir si la fonction objective ( la maximale robustesse) dépasse à  $S$  ou non.

---

### Algorithm 2: VERIFYROBUSTSP(vertices, arcs)

---

**Input:** vertices: l'ensemble des sommets sélectionnés; arcs: l'ensemble des arcs sélectionnés.

**Output:** true si la solution entrée est réalisable; false sinon.

```

1 if VERIFYSTATICSP(vertices, arcs) = false then
2   return false;
3  $z_2 \leftarrow$  résoudre (SP2);
4 return  $z_2 \leq S$ 

```

---

Maintenant, on est prêt d'analyser les résultats expérimentaux de nos différentes propositions. Les tests sont effectués sur une **machine virtuelle** de système LINUX utilisant le CPU Intel (R) Core(TM) i7-8650U CPU @ 1.90GHz du 4 processors avec RAM 4 GB. Pour chaque méthode approche, on a fixé le temps limite à 60 seconds. En particulier, étant donné que le nom des instances est long, dans les tableaux d'affichage des résultats, on identifie chaque instance par son nombre de villes et les traiter dans l'ordre de "**\*.BAY.gr**", "**\*.COL.gr**" et "**\*.NY.gr**". Malheureusement, pour les instances très grands, les processors ont été "**Killed**" à cause de mémoire/capacité limité, et on n'arrive pas à utiliser "try catch" pour traiter ce type d'erreur en JULIA, d'autre part on n'a pas assez de temps pour tourner tous les instances, donc on n'a que évalué les différents algorithmes sur les petits instances (le nombre de villes inférieur à 700).

## 5 Influence des scénarios initiaux

Pour l'algorithme plans coupants, on s'intéresse à la sensibilité sur les scénarios initiaux. Dans [subsection 2.2](#), on a proposé trois différentes initialisations des scénarios:

- **Default** : pas d'augmentation sur les distances d'arc et ni augmentation sur les poids de sommets.
- **Uniform** : toute la distance d'arc est augmentée uniformément la moyenne de l'augmentation totale sans passer sa limite; tout le poids de sommet est aussi augmenté uniformément la moyenne de l'augmentation totale sans passer sa limite.
- **Arbitrary** : on sélectionne aléatoirement un sous-ensemble d'arcs et un sous-ensemble de sommets, et les effectuer une augmentation.

Voici dessous [Table 1](#) le tableau des résultats expérimentaux. Ici on a choisi de tester les instances par l'algorithme plans coupants (avec les sous-problèmes exactes). Chaque colonne, on affiche le temps d'exécution, le gap entre la meilleure borne et la meilleur borne rencontrée.

On observe que pour les petites instances, les différentes initialisations des scénarios n'ont pas d'influence sur les qualités de solutions. L'algorithme plans coupants trouve la solution optimale sur tous les 3 différents scénarios initiaux. Par contre concernant le temps d'exécution, l'initialisation par défaut est légèrement la plus lente pour trouver une solution optimale. Le temps d'exécution avec l'initialisation uniforme et l'initialisation arbitraire sont assez proches. Peut-être l'influence des scénarios initiaux serait plus évident sur les grandes instances.

Cities	Default			Uniform			Arbitrary		
	Time(s)	Gap	Best bound	Time(s)	Gap	Best bound	Time(s)	Gap	Best bound
20	1.22	0.0	15332.56	0.99	0.0	15332.56	1.0	0.0	15332.56
20	0.55	0.0	7076.52	0.59	0.0	7076.52	0.64	0.0	7076.52
20	0.9	0.0	8699.36	0.96	0.0	8699.36	1.16	0.0	8699.36
40	16.42	0.0	12664.33	14.3	0.0	12664.33	13.42	0.0	12664.33
40	60.78	0.0	14119.91	60.12	0.0	14119.91	60.09	0.0	14119.91
40	52.38	0.0	17330.1	50.96	0.0	17330.1	49.62	0.0	17330.1
60	33.12	0.0	10633.33	32.61	0.0	10633.33	34.71	0.0	10633.33
60	3.71	0.0	23914.23	3.51	0.0	23914.23	3.4	0.0	23914.23
60	13.07	0.0	21277.0	12.46	0.0	21277.0	12.26	0.0	21277.0
80	62.21	0.0	10447.73	60.42	0.0	10411.68	61.75	0.0	10411.68
80	40.04	0.0	11610.8	34.67	0.0	11610.8	35.36	0.0	11610.8
80	7.58	0.0	18619.6	7.26	0.0	18619.6	7.61	0.0	18619.6
100	61.19	0.0	8374.96	60.42	0.0	8374.96	60.99	0.0	8374.96
100	60.3	0.0	12575.96	60.27	0.0	12575.96	60.81	0.0	12575.96
100	60.99	0.0	18042.84	60.19	0.0	18373.17	60.28	0.0	18373.17
120	60.34	0.0	9761.52	61.28	0.0	9833.16	61.18	0.0	9761.52
120	61.34	0.0	12575.96	61.74	0.0	12575.96	60.62	0.0	12213.52
120	61.99	0.0	23395.45	61.89	0.0	24676.03	61.68	0.0	23395.45
140	60.88	0.0	12989.0	61.5	0.0	12989.0	60.98	0.0	12989.0
140	47.35	0.0	14380.14	47.65	0.0	14380.14	44.8	0.0	14380.14
140	62.09	0.0	30755.78	64.95	0.0	30755.78	60.92	0.0	30755.78
160	61.31	0.0	9365.32	60.44	0.0	9365.32	61.86	0.0	9365.32
160	61.13	0.0	13655.26	61.34	0.0	13655.26	60.52	0.0	13655.26
160	60.21	0.0	12331.87	61.44	0.0	12331.87	61.1	0.0	12331.87
180	62.41	0.0	9075.08	62.18	0.0	9075.08	63.45	0.0	9303.68
180	61.75	0.0	19643.42	60.23	0.0	19643.42	61.79	0.0	19643.42
180	61.62	0.0	11753.74	61.13	0.0	11753.74	60.28	0.0	11753.74
200	60.59	0.0	9075.08	60.35	0.0	9075.08	61.08	0.0	9075.08
200	62.66	0.0	19369.02	61.11	0.0	19251.76	61.5	0.0	19369.02
200	60.56	0.0	27835.61	61.39	0.0	27835.61	61.12	0.0	27635.63
250	64.03	0.0	15094.09	63.91	0.0	15094.09	62.6	0.0	15094.09
250	64.1	0.0	19187.8	62.96	0.0	19187.8	62.66	0.0	19187.8
250	60.77	0.0	34525.13	60.74	0.0	34525.13	61.06	0.0	34525.13
300	67.44	0.0	17902.5	67.33	0.0	17902.5	69.2	0.0	17955.82
300	66.92	0.0	16046.36	60.01	0.0	16046.36	62.94	0.0	16046.36
300	63.68	0.0	28943.4	62.01	0.0	28943.4	61.91	0.0	28943.4
350	67.12	0.0	16902.64	69.01	0.0	16902.64	68.94	0.0	16902.64
350	65.89	0.0	20387.11	71.01	0.0	20387.11	60.89	0.0	20387.11
350	72.52	0.0	23044.65	69.13	0.0	23044.65	68.44	0.0	23044.65
400	67.68	0.0	16619.9	67.63	0.0	16619.9	68.07	0.0	16619.9
400	66.88	0.0	20690.32	66.6	0.0	20690.32	66.15	0.0	20690.32
400	68.04	0.0	19288.16	67.76	0.0	19288.16	67.51	0.0	19288.16

Table 1: Influences d’initialisation des scénarios.

## 6 Influence les heuristiques pour des sous problèmes

Concernant l'algorithme plans coupants et Branch&Cut, on typiquement résout les sous-problèmes exactes par CPLEX. Une autre approche est que on peut résoudre les sous-problèmes heuristiquement, et il est intéressant de voir le temps accéléré par les heuristiques et ses performances. Vue que les sous-problèmes sont les problèmes de programmation linéaire très simple avec seulement une variable, on propose les heuristiques gloutons. L'idée est que on laisse les arcs (resp. sommets) ayant le maximale distance robuste (resp. le maximal poids robuste) augmenter au maximum d'abord, jusqu'à le seuil atteint.

---

### Algorithm 3: HEURISTICSPI( $x^*$ )

---

**Input:**  $x^*$ : la solution courante de problème maître.  
**Output:**  $\delta^1$ : l'augmentation de chaque arc;  $z_1$  la valeur de distance robuste heuristique.

```

1  $\delta^1 \leftarrow [0.0, \forall ij \in A]$ ;
2  $z_1 = 0.0$ ;
3  $max\_augmentation \leftarrow [x_{ij}^* \cdot d_{ij} \cdot (1 + D_{ij}), \forall ij \in A]$ ;
4  $arcs \leftarrow sorted(ij, by = max\_augmentation[ij], reversed)$ ;
   ; // trier les arcs par la distance robuste maximale augmentée décroissante
5 for  $ij \in arcs$  do
6   if  $sum(\delta^1) + D_{ij} \leq d_1$  then
7      $z_1 \leftarrow z_1 + max\_augmentation[ij]$ ;
8      $\delta^1[ij] \leftarrow D_{ij}$ ;
9   else if  $sum(\delta^1) < d_1$  then
10     $\delta^1[ij] \leftarrow d_1 - sum(\delta^1)$ ;
11     $z_1 \leftarrow z_1 + x_{ij}^* \cdot d_{ij} \cdot (1 + \delta^1[ij])$ ;
12   else
13      $z_1 \leftarrow z_1 + x_{ij}^* \cdot d_{ij}$ ;
14 return  $z_1, \delta^1$ 
```

---

Donc dans le problème maître, il récupère les valeurs  $z_1$  et  $z_2$  en le comparant avec les conditions optimales dans [subsection 2.4](#) où on a discuté, et décide d'ajouter les coupes ou non avec les variables heuristiques  $\delta^1$  et  $\delta^2$ .

Voici dessous [Table 2](#) le tableau de résultats expérimentaux où on compare les performances de plans coupants et branch&cut en résolvant les sous problèmes exactes ou heuristiques. Pour chaque méthode, on s'intéresse au temps d'exécution, le gap entre la meilleure borne et également la meilleure borne rencontrée. Pour **PC Heur** et **BC Heur**, on calcule également le gap entre la solution heuristique et la solution exacte par  $\frac{|v^*(exact) - v^*(heur)|}{v^*(exact)}$ .

A cause de difficile gérer le contrôle du temps, l'algorithme de plans coupants ne s'arrête pas exactement dans 60 seconds. Parce que avant de commencer à la nouvelle itération, si le temps courant ne dépasse pas à limite, mais la prochaine itération la somme de temps résolvant le problème maître et les deux sous-problèmes peut être dépassé à la limite. Par conséquent, l'algorithme plans coupants souvent se terminent dans 2 ou 3 minutes environ.



---

**Algorithm 4:** HEURISTICSP2( $y^*$ )

---

**Input:**  $y^*$ : la solution courante de problème maître.

**Output:**  $\delta^2$ : l'augmentation de chaque sommet;  $z_2$  la valeur du poids robuste heuristique.

```
1  $\delta^2 \leftarrow [0.0, \forall v \in V];$ 
2  $z_2 = 0.0;$ 
3  $max\_augmentation \leftarrow [y_v^* \cdot (p_v + 2 \cdot \hat{p}_v), \forall v \in V];$ 
4  $vertices \leftarrow sorted(v, by = max\_augmentation[v], reversed);$ 
   ; // trier les sommets par le poids robuste maximale augmentée décroissante
5 for  $v \in vertices$  do
6   if  $sum(\delta^2) + 2 \leq d_2$  then
7      $z_2 \leftarrow z_2 + max\_augmentation[v];$ 
8      $\delta^2[v] \leftarrow 2;$ 
9   else if  $sum(\delta^2) < d_2$  then
10     $\delta^2[v] \leftarrow d_2 - sum(\delta^2);$ 
11     $z_2 \leftarrow z_2 + y_v^* \cdot (p_v + \delta^2[v] \cdot \hat{p}_v);$ 
12   else
13     $z_2 \leftarrow z_2 + y_v^* \cdot p_v;$ 
14 return  $z_2, \delta^2$ 
```

---

**Comparaison l'algorithme plans coupants exact et le branch&cut exact** Si on regarde les instances résolus dans 60 seconds (les villes entre 20 et 100), on trouve que l'algorithme branch&cut est significativement plus rapide que l'algorithme plans coupants. Les même valeurs objectives impliquent que nos algorithmes sont bien implémentés.

On constate que pour les instances de 140 à 300, l'algorithme plans coupants arrive à trouver une solution optimale environs dans 60 seconds, cependant, l'algorithme branch&cut s'arrête au tour de 60 seconds mais avec un gap moins 10% une garantie pas male.

Pour les instances de villes entre 400 et 650, l'algorithme plans coupants réussie à trouver la solution optimale dans 2 minutes, et clairement le branch&cut a eu le time out pour la plus part de ces instances et avec un gap environ 15%.

**Comparaison les sous-problèmes exactes et heuristiques** Tout d'abord, on observe que les heuristiques accélèrent beaucoup environ 2 fois plus vite sur les grands instances 550 et 650 pour l'algorithme plans coupants. Et les heuristiques sur le branch&cut permettent de résoudre presque tous les instances moins de 700 villes.

Au niveau du gap entre la borne heuristique et la borne exacte, pour le branch&cut ils sont quasiment 0 gap entre la solution exacte. Pour l'algorithme plans coupants, le gap est environ moins de 5% pour les instances moins de 300 villes, pour les instances entre 400 et 650, le gap augmente à 10% et 20%.

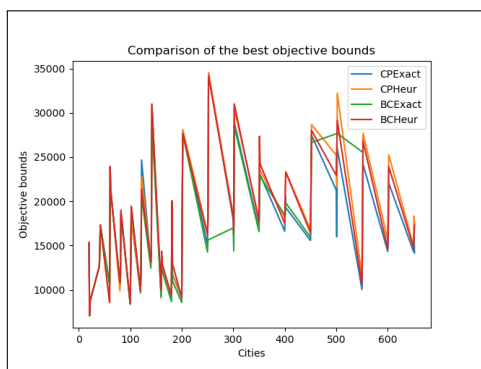
Dans [Figure 1](#) on voit que les bornes pour les petits instances sont presque les mêmes (assez proches), mais l'écart devient large quand instances deviennent plus grands. Sur le [Figure 1b](#), il est évident que le méthode B&C exact est le plus lent, mais le méthode B&C heuristique est le plus rapide, et les deux méthodes de plans coupants sont aussi pas males.

Cities	PC Exact				PC Heur				BC Exact				BC Heur				
	Time(s)	Gap	Best bound	Time(s)	Gap	Best bound	Gap Heur	Time(s)	Gap	Best bound	Time(s)	Gap	Best bound	Time(s)	Gap	Best bound	Gap Heur
20	2.82	0.0	15332.56	1.98	0.0	15332.56	0.0	0.81	0.0	15332.56	0.21	0.0	15332.56	0.0	0.0	15332.56	0.0
20	1.06	0.0	7076.52	1.62	0.0	7076.52	0.0	0.4	0.0	7076.52	0.11	0.0	7076.52	0.0	0.0	7076.52	0.0
20	2.49	0.0	8699.36	1.12	0.0	8699.36	0.0	1.33	0.0	8699.36	0.16	0.0	8699.36	0.0	0.0	8699.36	0.0
40	16.49	0.0	12664.33	13.53	0.0	12664.33	0.0	1.26	0.0	12664.33	0.3	0.0	12664.33	0.0	0.0	12664.33	0.0
40	60.05	0.0	14119.91	60.49	0.0	14119.91	0.0	10.75	0.0	15058.97	1.59	0.0	15058.97	0.0	0.0	15058.97	0.0
40	57.71	0.0	17330.1	60.4	0.0	17290.59	0.0	2.74	0.0	17330.1	0.62	0.0	17330.1	0.0	0.0	17330.1	0.0
60	35.47	0.0	10633.33	19.29	0.0	8571.81	0.19	3.84	0.0	10633.33	0.54	0.0	8571.81	0.19	0.0	8571.81	0.19
60	3.52	0.0	23914.23	3.52	0.0	23914.23	0.0	2.5	0.0	23914.23	0.72	0.0	23914.23	0.0	0.0	23914.23	0.0
60	12.2	0.0	21277.0	19.84	0.0	21277.0	0.0	3.65	0.0	21277.0	0.87	0.0	21277.0	0.0	0.0	21277.0	0.0
80	60.42	0.0	10483.55	62.47	0.0	9884.89	0.06	14.78	0.0	10857.06	44.31	0.0	10857.06	0.0	0.0	10857.06	0.0
80	28.05	0.0	11610.8	23.24	0.0	11610.8	0.0	6.88	0.0	11610.8	44.08	0.0	11610.8	0.0	0.0	11610.8	0.0
80	5.5	0.0	18619.6	18.63	0.0	18619.6	0.0	2.6	0.0	18619.6	13.15	0.0	19029.52	0.02	0.0	19029.52	0.02
100	60.39	0.0	8374.96	60.86	0.0	8374.96	0.0	29.46	0.0	8462.96	4.34	0.0	8462.96	0.0	0.0	8462.96	0.0
100	60.5	0.0	12575.96	59.06	0.0	12938.4	0.03	16.85	0.0	12938.4	1.99	0.0	12938.4	0.0	0.0	12938.4	0.0
100	60.03	0.0	17999.39	60.51	0.0	17999.39	0.0	23.72	0.0	19446.56	3.75	0.0	19446.56	0.0	0.0	19446.56	0.0
120	60.38	0.0	9761.52	60.58	0.0	9833.16	0.01	60.14	0.03	9642.0	12.94	0.0	9921.16	0.0	0.0	9921.16	0.0
120	60.24	0.0	12575.96	60.1	0.0	12575.96	0.0	56.17	0.0	12938.4	5.55	0.0	12938.4	0.0	0.0	12938.4	0.0
120	60.5	0.0	24676.03	63.05	0.0	22827.8	0.07	60.0	0.22	20571.54	60.0	0.19	21366.75	0.0	0.0	21366.75	0.0
140	60.77	0.0	12989.0	60.76	0.0	12967.44	0.0	60.31	0.13	12462.63	60.02	0.09	13135.53	0.0	0.0	13135.53	0.0
140	52.93	0.0	14380.14	26.24	0.0	14380.14	0.0	28.43	0.0	14380.14	2.19	0.0	14380.14	0.0	0.0	14380.14	0.0
140	60.62	0.0	30755.78	61.96	0.0	30935.84	0.01	60.07	0.12	29003.36	60.02	0.05	31001.15	0.01	0.0	31001.15	0.01
160	60.06	0.0	9365.32	60.19	0.0	9365.32	0.0	60.56	0.09	9105.9	42.14	0.0	9972.16	0.0	0.0	9972.16	0.0
160	60.04	0.0	13655.26	60.86	0.0	13836.48	0.01	60.37	0.12	12634.73	14.68	0.0	14380.14	0.0	0.0	14380.14	0.0
160	61.91	0.0	12331.87	60.53	0.0	12384.85	0.0	60.47	0.06	12148.77	6.75	0.0	12962.98	0.0	0.0	12962.98	0.0
180	62.39	0.0	9075.08	62.62	0.0	9365.32	0.03	61.01	0.13	8657.15	60.02	0.06	9365.32	0.0	0.0	9365.32	0.0
180	60.31	0.0	19643.42	60.78	0.0	19824.64	0.01	60.16	0.04	19358.17	16.96	0.0	20069.82	0.0	0.0	20069.82	0.0
180	60.81	0.0	11753.74	61.79	0.0	11806.72	0.0	60.08	0.15	10990.1	34.52	0.0	12962.98	0.0	0.0	12962.98	0.0
200	60.55	0.0	9075.08	61.8	0.0	9303.68	0.03	65.57	0.14	8573.31	60.12	0.09	9100.48	0.0	0.0	9100.48	0.0
200	63.01	0.0	19369.02	63.16	0.0	19643.42	0.01	61.32	0.1	18091.96	33.14	0.0	20069.82	0.0	0.0	20069.82	0.0
200	62.62	0.0	27835.61	60.69	0.0	28126.49	0.01	60.03	0.1	27635.63	60.1	0.1	27619.52	0.0	0.0	27619.52	0.0
250	60.11	0.0	15094.09	61.42	0.0	16466.18	0.09	62.96	0.16	14271.17	60.27	0.05	16230.8	0.0	0.0	16230.8	0.0
250	64.62	0.0	19187.8	60.79	0.0	19187.8	0.0	75.23	0.22	15628.45	60.22	0.12	17623.11	0.0	0.0	17623.11	0.0
250	62.57	0.0	34525.13	62.2	0.0	34525.13	0.0	-	-	-	60.17	0.08	34155.8	-	0.0	34155.8	-
300	64.86	0.0	17902.5	65.12	0.0	18575.32	0.04	82.6	0.19	16986.5	60.04	0.13	18195.21	0.0	0.0	18195.21	0.0
300	63.05	0.0	16046.36	64.39	0.0	18034.72	0.12	159.16	0.22	14396.05	60.27	0.11	16441.41	0.0	0.0	16441.41	0.0
300	61.82	0.0	28943.4	62.58	0.0	30479.67	0.05	127.11	0.13	28481.76	60.26	0.06	31008.54	0.0	0.0	31008.54	0.0

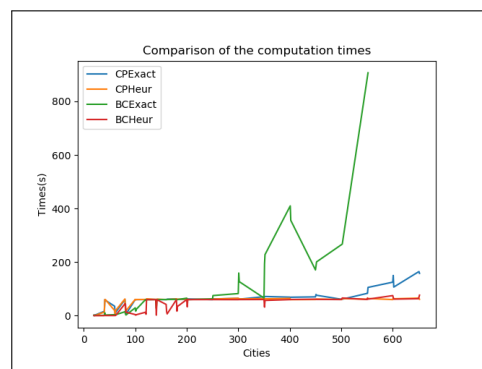
Table 2: Comparaison influences des heuristiques des sous-problèmes.

Cities	PC Exact				PC Heur				BC Exact				BC Heur			
	Time(s)	Gap	Best bound	Time(s)	Gap	Best bound	Gap Heur	Time(s)	Gap	Best bound	Time(s)	Gap	Best bound	Gap	Time(s)	Gap Heur
400	69.32	0.0	16619.9	64.63	0.0	18164.8	0.09	-	-	-	60.11	0.08	17500.85	-	-	-
400	68.75	0.0	20690.32	63.04	0.0	21632.04	0.05	409.83	0.45	18340.16	60.03	0.05	20925.75	0.34	-	-
400	69.05	0.0	19288.16	60.0	0.0	23369.58	0.21	355.93	0.18	19828.64	60.63	0.04	23278.33	0.0	-	-
450	70.37	0.0	15578.0	60.46	0.0	16817.0	0.08	170.79	0.16	15925.3	61.72	0.14	16424.79	0.0	-	-
450	79.41	0.0	20690.32	61.23	0.0	21632.04	0.05	-	-	-	-	-	-	-	-	-
450	76.34	0.0	27474.56	62.14	0.0	28665.62	0.04	200.78	0.16	26644.95	60.95	0.11	28029.36	0.0	-	-
500	61.53	0.0	21264.0	60.97	0.0	25222.26	0.19	-	-	-	60.36	0.23	22936.97	-	-	-
500	62.32	0.0	15990.0	60.27	0.0	21632.04	0.35	-	-	-	-	-	-	-	-	-
500	61.59	0.0	25991.0	63.93	0.0	32226.63	0.24	267.26	0.19	27675.98	66.14	0.15	29148.99	0.0	-	-
550	83.2	0.0	10036.0	61.5	0.0	11597.74	0.16	-	-	-	60.6	0.09	10643.28	-	-	-
550	83.43	0.0	15990.0	63.3	0.0	21632.04	0.35	-	-	-	66.09	0.24	18340.16	-	-	-
550	105.63	0.0	24190.0	64.41	0.0	27695.65	0.14	906.59	0.15	25518.69	61.81	0.11	26797.29	0.0	-	-
600	125.25	0.0	14332.0	60.21	0.0	15637.2	0.09	-	-	-	75.11	0.16	14658.3	-	-	-
600	150.2	0.0	15990.0	67.26	0.0	20690.32	0.29	-	-	-	67.56	0.17	18340.16	-	-	-
600	106.94	0.0	22042.0	63.31	0.0	25244.8	0.15	-	-	-	61.84	0.12	23917.74	-	-	-
650	163.81	0.0	14332.0	65.73	0.0	14984.6	0.05	-	-	-	63.44	0.16	14767.07	-	-	-
650	164.57	0.0	15990.0	64.81	0.0	18340.16	0.15	-	-	-	-	-	-	-	-	-
650	157.96	0.0	14158.0	61.38	0.0	17346.74	0.23	-	-	-	76.78	0.0	17346.74	-	-	-

Table 3: Comparaison influences des heuristiques des sous-problèmes.



(a) Comparaison la borne.



(b) Comparaison du temps d'exécution.

Figure 1: Diagrammes des performances en fonction de taille d'instance.

## 7 Heuristique Primal

Pour le problème le plus court chemin robuste, on propose également une approche heuristique gourmande. Vu que l'objectif est de minimiser le prix robustesse d'un plus court chemin, notre idée principale est que on suppose chaque arc sa distance est augmentée au maximum, et on y recherche le plus court chemin par algorithme Dijkstra. En considérant la robustesse du poids, on également suppose que chaque sommet son poids est augmenté au maximum, afin que ce type de plus court chemin devrait respecter le seuil du poids total  $S$ , on est censé de chercher le plus court chemin au poids minimum avec chaque arc et sommet sa valeur est augmentée au maximum. Subséquemment, dans l'algorithme Dijkstra, on considère le coût est la somme de distance robuste et poid robust. A la fin de l'algorithme Dijkstra, on vas désider les variables robustes (i.e. les augmentations) qui sont résolus par les heuristiques de sous-problèmes introduites dans la section précédemment.

---

**Algorithm 5:** HEURISTICPRIMAL()

---

**Input:**

**Output:**  $\delta^1$ : l'augmentation de chaque arc;  $z_1$  la valeur de distance robuste heuristique;  $\delta^2$ :  
l'augmentation de chaque sommet;  $z_2$  la valeur du poids robuste heuristique.

// initialisation les données

```
1 todo  $\leftarrow [v, \forall v \in V]$ ;
2 predecessor  $\leftarrow [None, \forall v \in V]$ ;
3 dist  $\leftarrow [\infty, \forall v \in V]$ ;
4 dist[s]  $\leftarrow 0.0$ ;
5 max_augmentation  $\leftarrow [0, \forall uv \in A]$ ;
  // initialisation les coûts : la somme de distance maximale et le poids
  maximale
6 for (u, v)  $\in A$  do
7   poids  $\leftarrow p_v + \hat{p}_v \cdot 4$ ;
8   if v = s or v = t then
9     | poids  $\leftarrow 0$ ;
10  | max_augmentation[uv]  $\leftarrow d_{uv} \cdot (1 + D_{uv}) + \textit{poids}$ ;
  // tant qu'il reste des sommets à traiter
11 while |todo| > 0 do
12   u  $\leftarrow \min(\textit{dist}[v], \forall v \in V)$ ;
13   delete(todo, u);
14   if u = t then
15     | break;
16   neighbours  $\leftarrow [v, v \in \textit{todo} \text{ and } v \in N(u)]$ ;
17   for v  $\in \textit{neighbours}$  do
18     | alt  $\leftarrow \textit{dist}[u] + \textit{max\_augmentation}[uv]$ ;
19     | if alt < dist[v] then
20       | | dist[v]  $\leftarrow \textit{alt}$ ;
21       | | predecessor[v]  $\leftarrow u$ ;
  // préparation la solution
22 arcs  $\leftarrow []$ ;
23 vertices  $\leftarrow []$ ;
24 u  $\leftarrow t$ ;
25 while predecessor[u]  $\neq None$  do
26   | vertices.add(u);
27   | arcs.add((predecessor[u], u));
28   | u  $\leftarrow \textit{predecessor}[u]$ ;
29 vertices.add(s);
30  $z_1, \delta^1 \leftarrow \text{HEURISTICSP1}(\textit{arcs})$ ;
31  $z_2, \delta^2 \leftarrow \text{HEURISTICSP2}(\textit{vertices})$ ;
32 return  $z_1, \delta^1, z_2, \delta^2$ 
```

---

## 8 Comparaison performances des modèles

Dans [Figure 2](#), on illustre que pour chaque algorithme, le temps d'exécution et le nombre d'instances résolus. Parmi les approches exactes, on trouve que le dualisation a la meilleure performance et puis le branch&cut heuristiques est moins vite. Quand les instances deviennent plus grands, le branch&cut exacte et plans coupants sont beaucoup plus lentes.

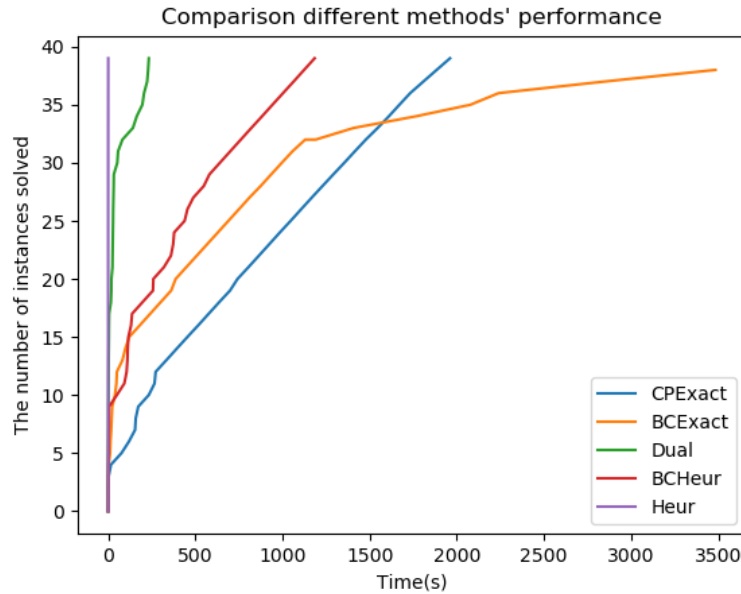


Figure 2: Comparaison les performances de différentes approches.

Voici [Table 4](#) le tableaux expérimentaux de différentes approches. Pour les instances avec le nombre de villes moins de 400, le prix robuste est entre 15% et 39%. L'algorithme plans coupants et l'approche dualisation arrivent à trouver une solution optimale pour tous les petits instances. Le branch&cut avec les sous-problèmes heuristiques résout les problèmes significativement plus rapide que le branch&cut exacte, avec le gap moins 10% une bonne qualité de solution. Néanmoins, notre heuristique primale résout le problème tout de suite mais avec un gap un peu plus large entre la solution exacte, entre 0% et 85% la garantie de qualité de solution n'est pas stable.

## 9 Perspectives

En manquant du temps, pour le dernier comparaison des performances des modèles, on n'a que testé sur les petits instances, par suite il est intéressant de tester les grands instances et voir les influences et les performances de différents algorithmes.

Dans le projet, on a proposé une heuristique primale gourmande, donc il est intéressant d'y contin-

uer de réfléchir une heuristique l'arrondi de relaxation de dualisation par exemple d'étudier la garantie de performance.

Vue que on a déjà une solution heuristique primale, il est également intéressant de l'ajouter à la initialisation de CPLEX, et voir l'impact de solution initiale sur le branchement de CPLEX.

Enfin, il est aussi intéressant de chercher les inégalités valides pour ce problème pour améliorer le processus de branch&cut.

Malheureusement, on a trouvé que le modèle n'élimine pas des cycles sur le chemin, on pourrait donc ajouter les contraintes MTZ d'élimination des sous-tours.



Cities	PR	Cutting Planes			Branch&Cut			Dualization			B&C Heur			Heuristic		
		Time(s)	Gap	Best bound	Time(s)	Gap	Best bound	Time(s)	Gap	Best bound	Time(s)	Gap	Best bound	Time(s)	Gap	Best bound
20	0.39	1.37	0.0	15332.56	0.48	0.0	15332.56	0.03	0.0	15332.56	0.71	0.0	15332.56	0.18	0.0	15332.56
20	0.24	0.57	0.0	7076.52	0.18	0.0	7076.52	0.03	0.0	7076.52	0.08	0.0	7076.52	0.0	0.0	7076.52
20	0.21	1.24	0.0	8699.36	0.55	0.0	8699.36	0.1	0.0	8699.36	0.12	0.0	8699.36	0.0	0.09	9454.47
40	0.38	12.95	0.0	12664.33	1.79	0.0	12664.33	0.3	0.0	12664.33	0.25	0.0	12664.33	0.0	0.0	12664.33
40	0.33	60.52	0.0	14119.91	8.4	0.0	15058.97	0.16	0.0	15058.97	1.26	0.0	15058.97	0.0	0.0	15058.97
40	0.28	42.76	0.0	17330.1	2.22	0.0	17330.1	0.33	0.0	17330.1	0.51	0.0	17330.1	0.0	0.0	17330.1
60	0.34	35.18	0.0	10633.33	4.08	0.0	10633.33	0.23	0.0	10633.33	0.71	0.19	8571.81	0.0	0.19	8571.81
60	0.29	3.77	0.0	23914.23	2.72	0.0	23914.23	0.24	0.0	23914.23	0.78	0.0	23914.23	0.0	0.0	23914.23
60	0.42	14.36	0.0	21277.0	3.01	0.0	21277.0	0.3	0.0	21277.0	0.9	0.0	21277.0	0.0	0.23	16299.13
80	0.19	60.41	0.0	10411.68	16.04	0.0	10857.06	0.5	0.0	10857.06	44.8	0.0	10857.06	0.0	0.0	10857.06
80	0.18	33.15	0.0	11610.8	8.02	0.0	11610.8	0.23	0.0	11610.8	42.96	0.0	11610.8	0.0	0.23	14277.49
80	0.34	6.28	0.0	18619.6	2.8	0.0	18619.6	0.29	0.0	18619.6	13.04	0.02	19029.52	0.0	0.12	16299.13
100	0.15	61.07	0.0	8374.96	31.82	0.0	8462.96	0.32	0.0	8462.96	4.51	0.0	8462.96	0.0	0.28	10857.06
100	0.18	60.2	0.0	12575.96	16.76	0.0	12938.4	0.59	0.0	12938.4	1.94	0.0	12938.4	0.0	0.96	25320.15
100	0.22	60.85	0.0	18042.84	22.25	0.0	19446.56	0.84	0.0	19446.56	3.65	0.0	19446.56	0.0	0.08	20939.94
120	0.15	61.86	0.0	9761.52	60.14	0.03	9633.51	0.48	0.0	9921.16	15.41	0.0	9921.16	0.01	0.23	12218.98
120	0.18	60.21	0.0	12575.96	60.05	0.03	12575.96	0.94	0.0	12938.03	5.73	0.0	12938.4	0.0	0.96	25320.15
120	0.29	60.42	0.0	24676.03	60.12	0.22	20571.54	10.01	0.0	26508.07	60.0	0.0	22001.72	0.0	0.13	22991.44
140	0.19	61.95	0.0	12989.0	60.28	0.13	12546.48	2.64	0.0	14378.52	60.0	0.0	13576.94	0.01	0.09	13118.65
140	0.2	43.0	0.0	14380.14	25.6	0.0	14380.14	0.44	0.0	14380.14	2.1	0.0	14380.14	0.0	0.71	24651.02
140	0.23	61.83	0.0	30755.78	60.35	0.12	29003.36	5.93	0.0	33079.16	60.02	0.01	31457.44	0.0	0.04	31738.91
160	0.17	60.59	0.0	9365.32	60.68	0.06	9365.32	0.74	0.0	9972.16	40.76	0.0	9972.16	0.01	0.34	13395.74
160	0.2	60.2	0.0	13655.26	60.33	0.11	12752.85	0.94	0.0	14380.14	12.98	0.0	14380.14	0.0	0.71	24651.02
160	0.21	60.03	0.0	12331.87	60.61	0.05	12331.87	0.81	0.0	12962.98	5.51	0.0	12962.98	0.0	0.85	24039.44
180	0.17	61.89	0.0	9303.68	60.35	0.13	8657.15	1.04	0.0	9972.16	60.03	0.0	9365.32	0.01	0.34	13395.74
180	0.28	60.27	0.0	19643.42	60.56	0.03	19384.67	0.64	0.0	20069.82	16.07	0.0	20069.82	0.01	0.52	30526.01
180	0.21	60.78	0.0	11753.74	60.09	0.15	10990.1	1.47	0.0	12962.98	33.75	0.0	12962.98	0.01	0.85	24039.44
200	0.17	61.64	0.0	9075.08	64.47	0.14	8573.31	1.36	0.0	9972.16	60.09	0.0	9082.72	0.01	0.34	13395.74
200	0.28	62.07	0.0	19369.02	60.35	0.1	18055.72	0.93	0.0	20069.82	32.24	0.0	20069.82	0.01	0.57	31592.01
200	0.2	62.8	0.0	27835.61	61.0	0.1	27635.63	19.76	0.0	30595.12	60.07	0.0	27668.87	0.01	0.0	30574.8
250	0.2	61.42	0.0	15094.09	61.87	0.16	14271.17	4.63	0.0	17046.05	60.06	0.0	16538.74	0.02	0.13	19247.97
250	0.28	62.23	0.0	19187.8	72.62	0.22	15628.45	24.98	0.0	20069.82	60.13	0.0	17605.87	0.04	0.52	30526.01
250	0.14	67.81	0.0	34000.13	0.0	0.0	-	60.02	0.03	35859.05	60.12	0.09	34000.98	0.04	0.09	37057.41
300	0.21	64.0	0.0	17283.0	217.21	0.22	16986.5	21.78	0.0	20888.14	61.12	0.0	17394.0	0.06	0.05	21954.18
300	0.24	60.78	0.0	14565.08	355.71	0.22	14396.05	32.28	0.0	18546.4	60.05	0.0	15554.32	0.05	0.74	32337.01
300	0.21	61.88	0.0	28331.61	314.25	0.13	28481.76	9.76	0.0	32839.96	60.61	0.0	28908.76	0.04	0.09	35802.77
350	0.19	75.72	0.0	15790.0	161.62	0.14	16573.88	17.92	0.0	19379.24	60.84	0.0	16845.25	0.08	0.13	21954.18
350	0.31	76.07	0.0	20253.75	608.16	0.23	20942.53	5.33	0.0	27353.87	60.01	0.0	26545.48	0.06	0.12	30611.05
350	0.25	76.42	0.0	23044.65	635.01	0.04	23203.28	4.24	0.0	24253.84	60.45	0.0	23373.95	0.05	0.6	38848.64

Table 4: Comparaison les performances de différentes approches.